

2. Scheme bloc structurale

2.1. Preliminarii

Modelul matematic:

Analiza – Se împarte sistemul în *elemente simple*; urmează studiul lor separat, descrierea matematică și evidențierea **cauzelor** și **efectelor**.

Se asociază fiecărui *element* o schemă bloc parțială.

Sinteză – Cf. conexiunilor între elem. sist., se înlăuntră uite schemele bloc parțiale și se obține **schemă bloc structurală** a sistemului.

Exemplul 2.1.

Motor electric de cc

Fenomene: electrice, electromagnetice, electromecanice.

Analiza

(a) Circuitul rotoric: $u = Ri + L \frac{di}{dt} + e$

(b) Circuitul rotoric (tcem): $e = k_1 \dot{S}$

(c) Rotorul (mișcarea rotației): $J \frac{d\dot{S}}{dt} = m_m - m_f - m$

(d) Rotorul (cuprul elmag.): $m_m = k_2 i$

(e) Rotorul (cuprul de frec.): $m_f = k_3 \dot{S}$, k_1, k_2, k_3 – constante

- Se explicită relația de cauzalitate.

- Se aplică transformarea Laplace.

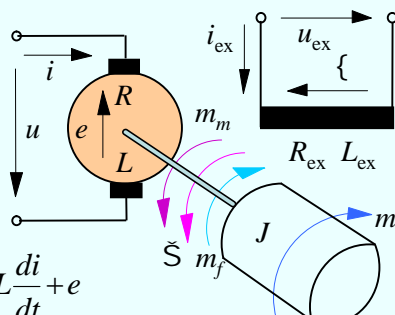


Fig. II.10

ECUA II CAUZA \Rightarrow EFECT INTRARE – IE IRE		
$u = R\dot{i} + L\frac{di}{dt} + e$	$u - e \Rightarrow i$	$I(s) = \frac{1}{Ls + R} [U(s) - E(s)](a)$
$e = k_1 \ddot{s}$	$\ddot{s} \Rightarrow e$	$E(s) = k_1 (s) (b)$
$J \frac{d\ddot{s}}{dt} = m_m - m_f - m$	$\begin{Bmatrix} m_m \\ m_f \\ m \end{Bmatrix} \Rightarrow \ddot{s}$	$(s) = \frac{1}{Js} [M_m(s) - M_f(s) - M(s)](c)$
$m_m = k_2 i$	$i \Rightarrow m_m$	$M_m(s) = k_2 I(s)(d)$
$m_f = k_3 \ddot{s}$	$\ddot{s} \Rightarrow m_f$	$M_f(s) = k_3 (s)(e).$
M. Voicu, IA (II)	C3 (34)	3

INTRARE \Rightarrow IE IRE	SCHEME BLOC PARIALE
$I(s) = \frac{1}{Ls + R} [U(s) - E(s)](a)$	
$E(s) = k_1 (s) (b),$	
$(s) = \frac{1}{Js} [M_m(s) - M_f(s) - M(s)](c)$	
$M_m(s) = k_2 I(s)(d).$	
$M_f(s) = k_3 (s)(e).$	
M. Voicu, IA (II)	C3 (34)
	4

$$I(s) = \frac{1}{Ls + R} [U(s) - E(s)] \quad (a) \quad E(s) = k_1 \Omega(s) \quad (b) \quad \Omega(s) = \frac{1}{Js} [M_m(s) - M_f(s) - M(s)] \quad (c)$$

$$M_m(s) = k_2 I(s) \quad (d)$$

$$M_f(s) = k_3 \Omega(s) \quad (e).$$

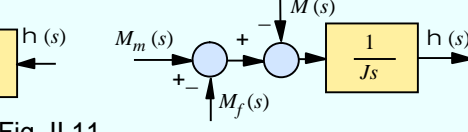
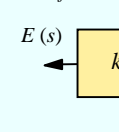
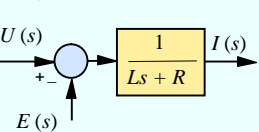
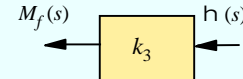
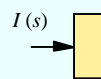


Fig. II.11



Sinteză

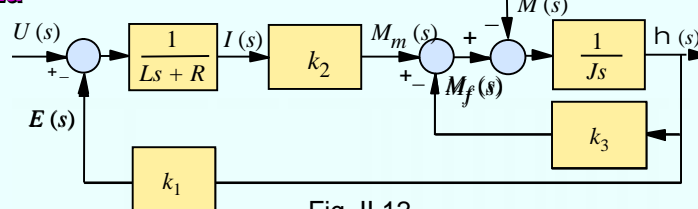


Fig. II.12

M. Voicu, IA (II)

C3 (34)

5

Acțiuni ri electrice cu tura ie reglabil : $u \Rightarrow \check{S}$, $m \Rightarrow \check{S}$

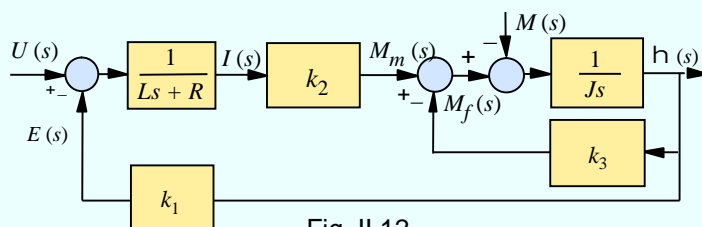
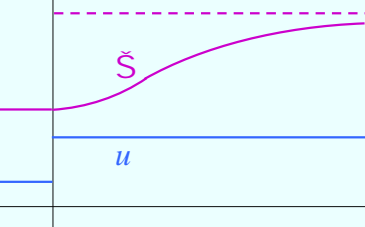


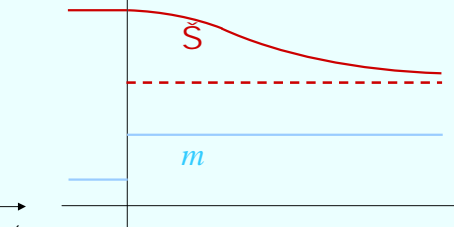
Fig. II.12

u, \check{S}



M. Voicu, IA (II)

m, \check{S}

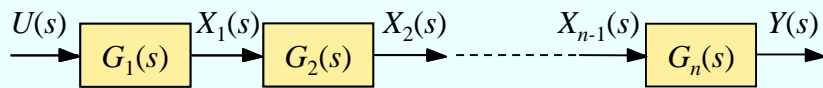


C3 (34)

6

2.2. Conexiuni elementare

1^ă Conexiunea «serie»



$$X_i(s) = G_i(s)X_{i-1}(s), \quad i = \overline{1, n}, \quad (2.1)$$

$$X_0(s) = U(s), \quad X_n(s) = Y(s). \quad (2.2)$$

$$Y(s) = G(s)U(s), \quad G(s) = \prod_{i=1}^n G_i(s). \quad (2.3)$$

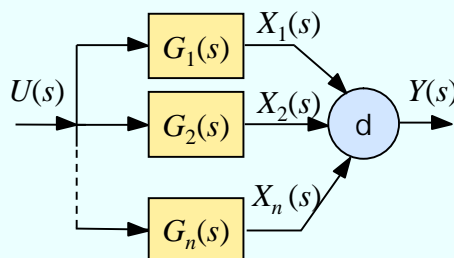
Funcția de transfer echivalentă = produsul funcțiilor de transfer.

M. Voicu, IA (II)

C3 (34)

7

2^ă Conexiunea «paralel»



$$X_i(s) = G_i(s)U(s), \quad i = \overline{1, n}, \quad (2.4)$$

$$Y(s) = \sum_{i=1}^n X_i(s). \quad (2.5)$$

$$Y(s) = G(s)U(s), \quad G(s) = \sum_{i=1}^n G_i(s). \quad (2.6)$$

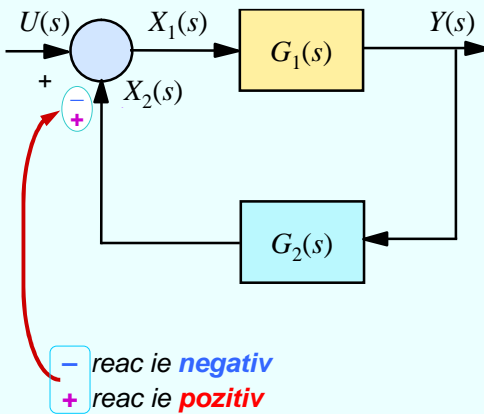
Funcția de transfer echivalentă = suma funcțiilor de transfer.

M. Voicu, IA (II)

C3 (34)

8

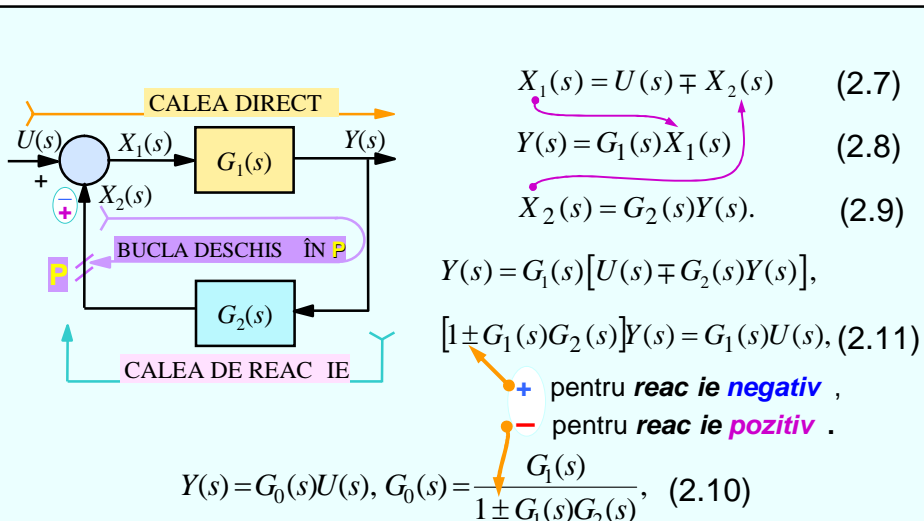
3^ă Conexiunea «cu reac ie»



M. Voicu, IA (II)

C3 (34)

9



Func ia de transfer echivalent = raportul dintre func ia de transfer a c ii directe i 1 ± func ia de transfer a buclei deschise în punctul P .

M. Voicu, IA (II)

C3 (34)

10

2.3. Transfigurarea schemelor bloc structurale

- Analiza și sinteza sistemelor dinamice reclamă determinarea relațiilor dintre două sau mai multe mărimi ale schemei bloc structurale.
- Prin operații de **transfigurare** se obțin rezultatele căutate.
- Ele se execută conform unor **identități de transfigurare**.

M. Voicu, IA (II)

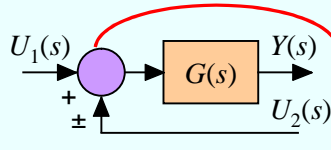
C3 (34)

11

Fig. II. 17. Identități de transfigurare

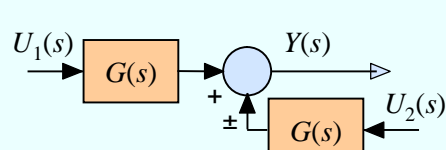
4. Deplasarea unui sumator de la intrarea la ieșirea unui bloc

a (schema initială)



(2.12)

b (schema finală)



(2.13)

$$Y(s) = G(s)[U_1(s) \pm U_2(s)]$$

$$Y(s) = G(s)U_1(s) \pm G(s)U_2(s)$$

M. Voicu, IA (II)

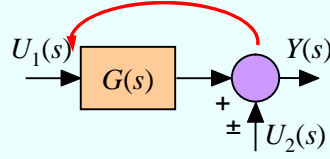
C3 (34)

12

Fig. II. 17. Identități de transfigurare (continuare)

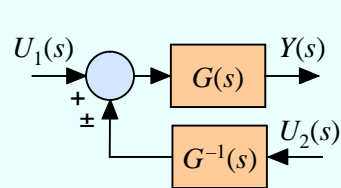
5^ă Deplasarea unui sumator de la ieșirea la intrarea unui bloc

a (schema initial)



(2.14)

b (schema final)



(2.15)

$$Y(s) = G(s)U_1(s) \pm U_2(s)$$

$$Y(s) = G(s)[U_1(s) \pm G^{-1}(s)U_2(s)]$$

M. Voicu, IA (II)

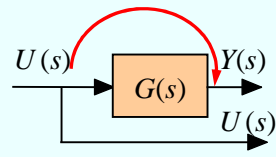
C3 (34)

13

Fig. II. 17. Identități de transfigurare (continuare)

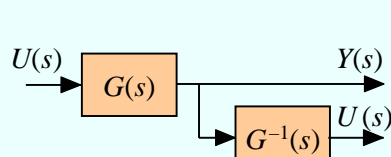
6^ă Deplasarea unui punct de ramificare de la ieșirea la intrare

a (schema initial)



(2.16)

b (schema final)



(2.17)

$$Y(s) = G(s)U(s),$$

$$U(s) = U(s)$$

$$Y(s) = G(s)U(s),$$

$$U(s) = G^{-1}(s)G(s)U(s)$$

M. Voicu, IA (II)

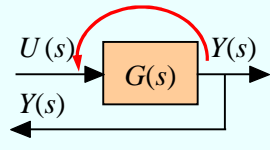
C3 (34)

14

Fig. II. 17. Identități de transfigurare (continuare)

7^ă Deplasarea unui punct de ramificare de la ieșire la intrare

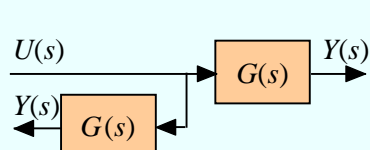
a (schema initial)



(2.18)

$$Y(s) = G(s)U(s), \\ Y(s) = Y(s)$$

b (schema final)



(2.19)

$$Y(s) = G(s)U(s), \\ Y(s) = G(s)Y(s)$$

M. Voicu, IA (II)

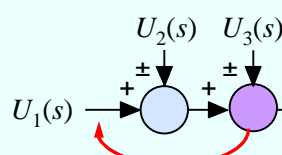
C3 (34)

15

Fig. II. 17. Identități de transfigurare (continuare)

8^ă Comutativitatea sumatoarelor

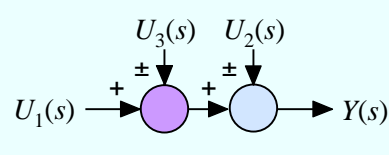
a (schema initial)



(2.20)

$$Y(s) = [U_1(s) \pm U_2(s)] \pm U_3(s)$$

b (schema final)



(2.21)

$$Y(s) = [U_1(s) \pm U_3(s)] \pm U_2(s)$$

M. Voicu, IA (II)

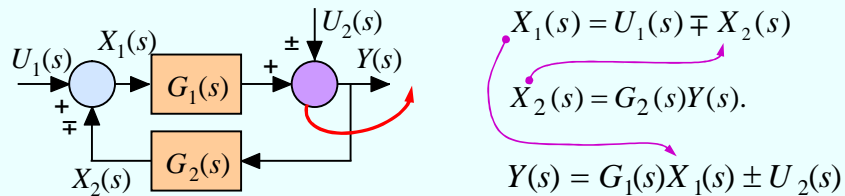
C3 (34)

16

Fig. II. 17. Identități de transfigurare (continuare)

9. Deplasarea sumatorului din interiorul conexiunii <<cu reacție>> la ieșire

a (schema initială)



$$Y(s) = G_1(s)[U_1(s) \mp G_2(s)Y(s)] \pm U_2(s)$$

$$[1 \pm G_1(s)G_2(s)]Y(s) = G_1(s)U_1(s) \pm U_2(s)$$

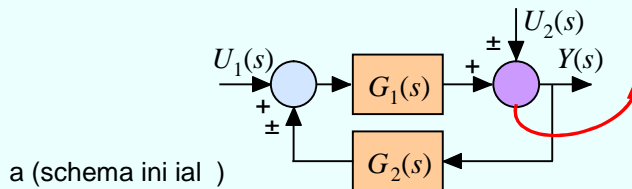
$$Y(s) = \frac{G_1(s)}{1 \pm G_1(s)G_2(s)}U_1(s) \pm \frac{1}{1 \pm G_1(s)G_2(s)}U_2(s),$$

M. Voicu, IA (II)

C3 (34)

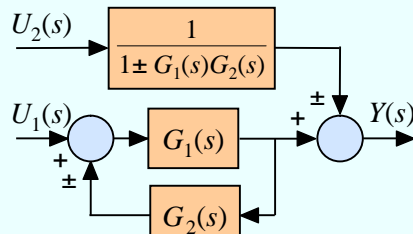
17

9. Deplasarea sumatorului (continuare)



$$Y(s) = \frac{G_1(s)}{1 \pm G_1(s)G_2(s)}U_1(s) \pm \frac{1}{1 \pm G_1(s)G_2(s)}U_2(s),$$

b (schema finală)



M. Voicu, IA (II)

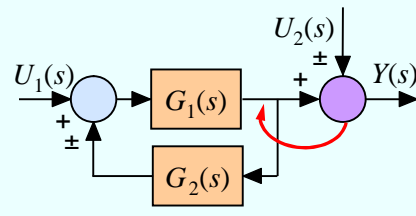
C3 (34)

18

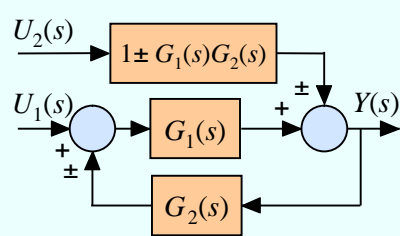
Fig. II. 17. Identități de transfigurare (continuare)

10th Deplasarea sumatorului de la ieșire în interiorul conexiunii <<cu reacție>>

a (schema initială)



b (schema finală)



$$Y(s) = \frac{G_1(s)}{1 \pm G_1(s)G_2(s)} U_1(s) \pm U_2(s),$$

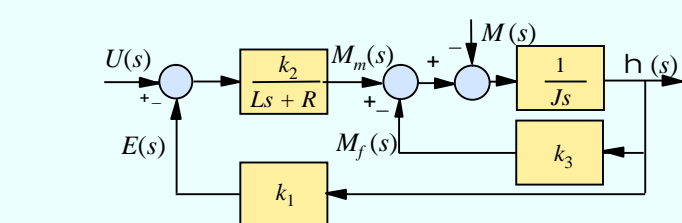
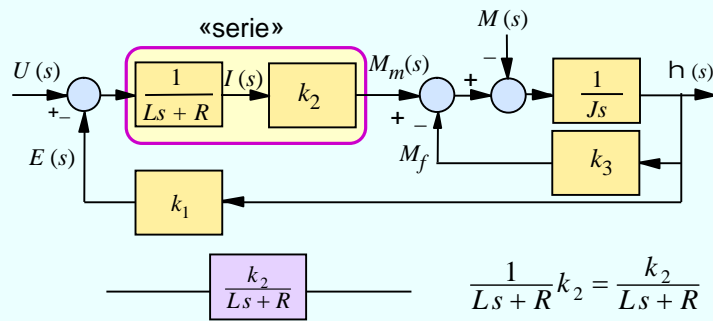
$$Y(s) = \frac{G_1(s)}{1 \pm G_1(s)G_2(s)} U_1(s) \pm \frac{1}{1 \pm G_1(s)G_2(s)} [1 \pm G_1(s)G_2(s)] U_2(s).$$

M. Voicu, IA (II)

C3 (34)

19

Exemplul 2.2. Motor electric de cc (continuare)

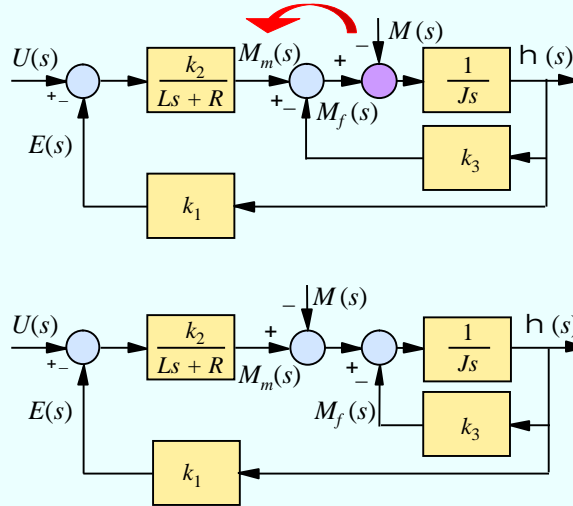


M. Voicu, IA (II)

C3 (34)

20

Exemplul 2.2. Motor electric de cc

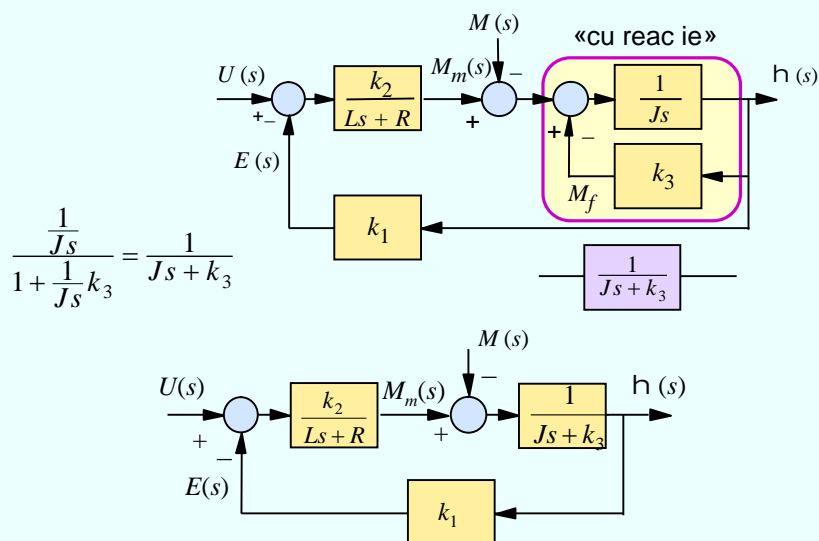


M. Voicu, IA (II)

C3 (34)

21

Exemplul 2.2. Motor electric de cc (continuare)



M. Voicu, IA (II)

C3 (34)

22

Exemplul 2.3.
Motor electric de cc

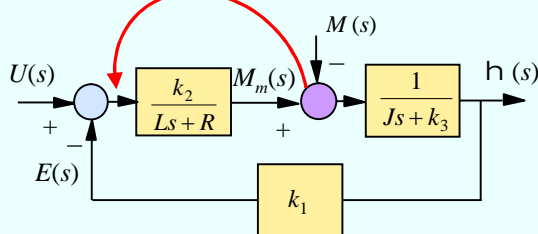
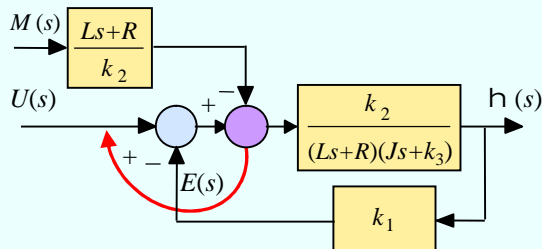


Fig. II.16



M. Voicu, IA (II)

C3 (34)

23

Exemplul 2.3.
Motor electric de cc
(continuare)

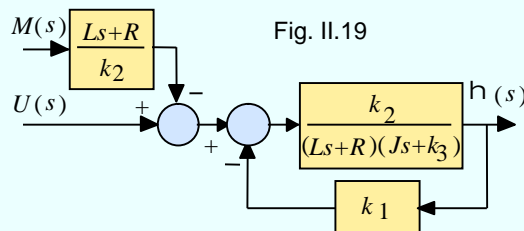


Fig. II.19

$$(s) = G_0(s)U(s) - G_{0m}(s)M(s),$$

$$G_0(s) = \frac{\frac{k_2}{(Ls+R)(Js+k_3)}}{1 + \frac{k_1 k_2}{(Ls+R)(Js+k_3)}} = \frac{k_2}{LJs^2 + (RJ + Lk_3)s + Rk_3 + k_1 k_2}$$

$$G_{0m}(s) = \frac{Ls+R}{k_2} \frac{\frac{k_2}{(Ls+R)(Js+k_3)}}{1 + \frac{k_1 k_2}{(Ls+R)(Js+k_3)}} = \frac{Ls+R}{LJs^2 + (RJ + Lk_3)s + Rk_3 + k_1 k_2} . \blacksquare$$

M. Voicu, IA (II)

C3 (34)

24

Paii de transfigurare:

- a) Se echivaleaz conexiunile «serie».
- b) Se echivaleaz conexiunile «paralel».
- c) Se echivaleaz conexiunile «cu reacie».
- d) Se deplaseaz punctele de ramificare i/sau sumatoarele conform identit ilor $4^\circ - 8^\circ$.
- e) Se repet operaile de la pa ii a – d pân se obine rezultatul dorit.

M. Voicu, IA (II)

C3 (34)

25

2.4. O schem bloc opera ional asociat unei funcii de transfer

$$Y(s) = \frac{b_m s^m + b_{m-1} s^{m-1} + \dots + b_0}{a_n s^n + a_{n-1} s^{n-1} + \dots + a_0} U(s), \quad (1.10)$$

G(s)

Observa ia 1.2 (v. 1.4)

Numitorul modeleaz operaile de amplificare i derivare;
are efect de **anticipare**.

Numitorul modeleaz operaile bazate pe integrare;
are efect de **întârziere**.

M. Voicu, IA (II)

C3 (34)

26

O schema bazat numai pe integratoare

Exemplu

$$Y(s) = \frac{b_3 s^3 + b_2 s^2 + b_1 s + b_0}{a_3 s^3 + a_2 s^2 + a_1 s + a_0} U(s); \quad a_3 \neq 0 \quad \text{i cel pu in un } b_j \neq 0.$$

Se elimina numitorul $a_3 s^3 + a_2 s^2 + a_1 s + a_0$.

$$(a_3 s^3 + a_2 s^2 + a_1 s + a_0) Y(s) = (b_3 s^3 + b_2 s^2 + b_1 s + b_0) U(s), \quad \times \frac{1}{a_3 s^3}$$

$$\left(1 + \frac{a_2}{a_3} \frac{1}{s} + \frac{a_1}{a_3} \frac{1}{s^2} + \frac{a_0}{a_3} \frac{1}{s^3}\right) Y(s) = \left(\frac{b_3}{a_3} + \frac{b_2}{a_3} \frac{1}{s} + \frac{b_1}{a_3} \frac{1}{s^2} + \frac{b_0}{a_3} \frac{1}{s^3}\right) U(s).$$

M. Voicu, IA (II)

C3 (34)

27

$$Y(s) + \frac{a_2}{a_3} \frac{1}{s} Y(s) + \frac{a_1}{a_3} \frac{1}{s^2} Y(s) + \frac{a_0}{a_3} \frac{1}{s^3} Y(s) = \\ = \frac{b_3}{a_3} U(s) + \frac{b_2}{a_3} \frac{1}{s} U(s) + \frac{b_1}{a_3} \frac{1}{s^2} U(s) + \frac{b_0}{a_3} \frac{1}{s^3} U(s).$$

$$Y(s) = \frac{b_3}{a_3} U(s) + \frac{b_2}{a_3} \frac{1}{s} U(s) - \frac{a_2}{a_3} \frac{1}{s} Y(s) +$$

$$+ \frac{b_1}{a_3} \frac{1}{s^2} U(s) - \frac{a_1}{a_3} \frac{1}{s^2} Y(s) + \frac{b_0}{a_3} \frac{1}{s^3} U(s) - \frac{a_0}{a_3} \frac{1}{s^3} Y(s).$$

M. Voicu, IA (II)

C3 (34)

28

$$\begin{aligned}
Y(s) = & \frac{b_3}{a_3} U(s) + \frac{1}{s} \left(\frac{b_2}{a_3} U(s) - \frac{a_2}{a_3} Y(s) \right) + \\
& \underbrace{\left. \frac{1}{s^2} \left(\frac{b_1}{a_3} U(s) - \frac{a_1}{a_3} Y(s) \right) + \frac{1}{s^3} \left(\frac{b_0}{a_3} U(s) - \frac{a_0}{a_3} Y(s) \right) \right\}}_{\downarrow} \\
Y(s) = & \frac{b_3}{a_3} U(s) + \frac{1}{s} \left(\frac{b_2}{a_3} U(s) - \frac{a_2}{a_3} Y(s) \right) + \\
& \underbrace{\left. \frac{1}{s^2} \left(\frac{b_1}{a_3} U(s) - \frac{a_1}{a_3} Y(s) + \frac{1}{s} \left(\frac{b_0}{a_3} U(s) - \frac{a_0}{a_3} Y(s) \right) \right) \right\}},
\end{aligned}$$

M. Voicu, IA (II)

C3 (34)

29

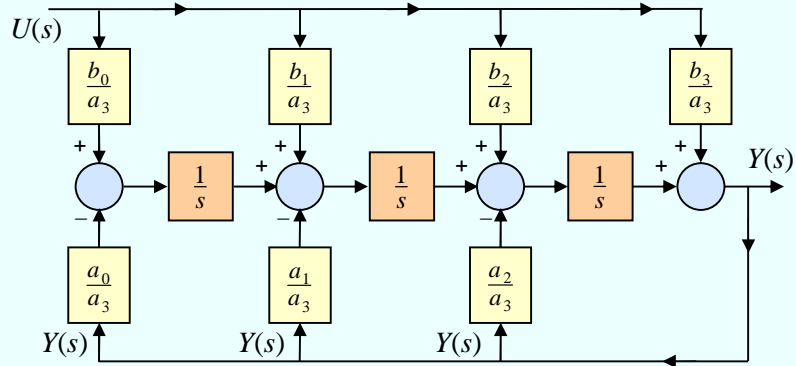
$$\begin{aligned}
Y(s) = & \frac{b_3}{a_3} U(s) + \frac{1}{s} \left(\frac{b_2}{a_3} U(s) - \frac{a_2}{a_3} Y(s) \right) + \\
& + \boxed{\frac{1}{s}} \left(\frac{b_1}{a_3} U(s) - \frac{a_1}{a_3} Y(s) + \frac{1}{s} \left(\frac{b_0}{a_3} U(s) - \frac{a_0}{a_3} Y(s) \right) \right), \\
Y(s) = & \frac{b_3}{a_3} U(s) + \frac{1}{s} \left(\frac{b_2}{a_3} U(s) - \frac{a_2}{a_3} Y(s) + \right. \\
& \left. + \frac{1}{s} \left(\frac{b_1}{a_3} U(s) - \frac{a_1}{a_3} Y(s) + \frac{1}{s} \left(\frac{b_0}{a_3} U(s) - \frac{a_0}{a_3} Y(s) \right) \right) \right),
\end{aligned}$$

M. Voicu, IA (II)

C3 (34)

30

$$Y(s) = \frac{b_3}{a_3}U(s) + \frac{1}{s} \left(\frac{b_2}{a_3}U(s) - \frac{a_2}{a_3}Y(s) + \frac{1}{s} \left(\frac{b_1}{a_3}U(s) - \frac{a_1}{a_3}Y(s) + \frac{1}{s} \left(\frac{b_0}{a_3}U(s) - \frac{a_0}{a_3}Y(s) \right) \right) \right).$$



M. Voicu, IA (II)

C3 (34)

31

Cazul general

$$Y(s) = \frac{b_n s^n + b_{n-1} s^{n-1} + \dots + b_0}{a_n s^n + a_{n-1} s^{n-1} + \dots + a_0} U(s), \quad a_n \neq 0 \quad \text{i cel pu in un } b_j \neq 0.$$

$$(a_n s^n + a_{n-1} s^{n-1} + \dots + a_0) Y(s) = (b_m s^m + b_{m-1} s^{m-1} + \dots + b_0) U(s) \quad \times \frac{1}{a_n s^n}$$

$$\begin{aligned} Y(s) &= \frac{b_n}{a_n} U(s) + \frac{b_{n-1}}{a_n} \frac{1}{s} U(s) - \frac{a_{n-1}}{a_n} \frac{1}{s} Y(s) + \\ &\quad + \frac{b_1}{a_n} \frac{1}{s^{n-1}} U(s) - \frac{a_1}{a_n} \frac{1}{s^{n-1}} Y(s) + \frac{b_0}{a_n} \frac{1}{s^n} U(s) - \frac{a_0}{a_n} \frac{1}{s^n} Y(s). \end{aligned}$$

M. Voicu, IA (II)

C3 (34)

32

$$Y(s) = \frac{b_n}{a_n} U(s) + \frac{1}{s} \left(\frac{b_{n-1}}{a_n} U(s) - \frac{a_{n-1}}{a_n} Y(s) \right) + \dots +$$

$$+ \frac{1}{s^{n-1}} \left(\frac{b_1}{a_n} U(s) - \frac{a_1}{a_n} Y(s) \right) + \frac{1}{s^n} \left(\frac{b_0}{a_n} U(s) - \frac{a_0}{a_n} Y(s) \right)$$

$$Y(s) = \frac{b_n}{a_n} U(s) + \frac{1}{s} \left(\frac{b_{n-1}}{a_n} U(s) - \frac{a_{n-1}}{a_n} Y(s) + \dots + \right.$$

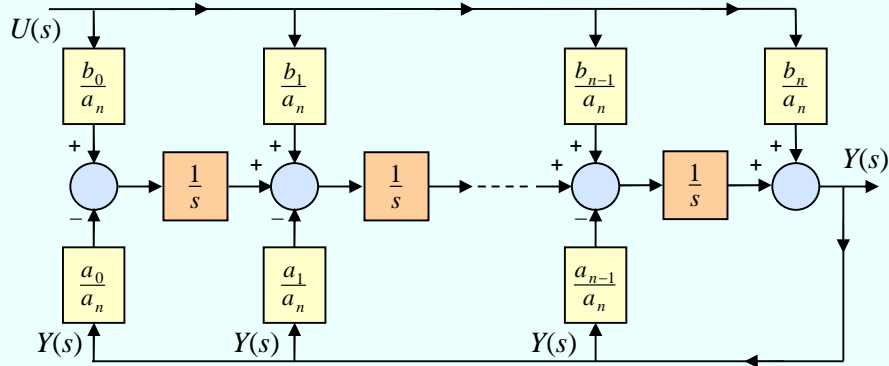
$$\left. + \frac{1}{s} \left(\frac{b_1}{a_n} U(s) - \frac{a_1}{a_n} Y(s) + \frac{1}{s} \left(\frac{b_0}{a_n} U(s) - \frac{a_0}{a_n} Y(s) \right) \dots \right) \right)$$

M. Voicu, IA (II)

C3 (34)

33

$$Y(s) = \frac{b_n}{a_n} U(s) + \frac{1}{s} \left(\frac{b_{n-1}}{a_n} U(s) - \frac{a_{n-1}}{a_n} Y(s) + \dots + \frac{1}{s} \left(\frac{b_1}{a_n} U(s) - \frac{a_1}{a_n} Y(s) + \frac{1}{s} \left(\frac{b_0}{a_n} U(s) - \frac{a_0}{a_n} Y(s) \right) \dots \right) \right)$$



M. Voicu, IA (II)

C3 (34)

34